

УДК 532.59

СТАЦІОНАРНИЙ РУХ ТОЧКОВОГО ВИХОРА В ШАРІ СКІНЧЕНОЇ ТОВЩИНИ СТРАТИФІКОВАНОГО СЕРЕДОВИЩА, ОБМЕЖЕНОГО ТВЕРДИМИ ГРАНИЦЯМИ

О. Г. СТЕЦЕНКО

Інститут гідромеханіки НАН України, Київ

Одержано 16.06.2009

Розв'язана лінійна задача про вимушений стаціонарний рух двовимірного точкового вихора в шарі скінченої товщини лінійно стратифікованої рідини. Розв'язок одержано у вигляді квадратур. Показано, що зі зростанням градієнта густини кінематична картина течії в околі і далі за вихором може істотно змінюватись. Гідродинамічна складова сили опору, обумовлена стратифікацією, з її посиленням має тенденцію швидко зростати.

Решена линейная задача о вынужденном стационарном движении двумерного точечного вихря в слое конечной толщины линейно стратифицированной жидкости. Решение получено в виде квадратур. Показано, что с ростом градиента плотности кинематическая картина течения в окрестности и далее за вихрем может существенно изменяться. Гидродинамическая составляющая силы сопротивления, обусловленная стратификацией, с её усилением имеет тенденцию быстро возрастать.

A linear problem of the forced stationary movement of a two-dimensional point vortex in the layer of finite thickness of linear stratified fluid is solved. The solution is obtained in the squaring form. It is shown that a kinematic flow pattern in the neighbourhood of the vortex and outside thereof can substantially change while a density gradient is increased. A hydrodynamic constituent of the resistance force determined by a stratification tends to increase rapidly.

ВСТУП

Результати вивчення стаціонарних рухів двовимірних горизонтально орієнтованих точкових вихорів є базовими при розв'язанні задач про рух плоских крилових профілів довільної форми. Бібліографія виконаних у цьому напрямку робіт з відповідним аналізом наведена у [1]. Початок дослідження стратифікованих середовищ у задачах даного напрямку пов'язаний з фундаментальними роботами Кочина М.Є. [2, 3], де розглянуті задачі про рух вихроджерела біля границі розділення напівнескінчених однорідних середовищ різної густини (в роботі [2] верхній шар мав нульову густину). В подальшому задачі про рух вихорів, вихроджерел та плоских профілів виконувались для схем шарової стратифікації [4]. Найбільш повна постановка задачі про рух вихора для n -шарової схеми стратифікації здійснена в [5].

Дослідження руху двовимірного точкового вихора у необмеженому середовищі з неперервною стратифікацією в лінійній постановці вперше виконано в роботі [6] для випадку рівномірного вимушеного руху в середовищі з лінійним профілем стратифікації. Окремі дослідження виконані також і для вільних рухів двовимірних вихорів. Так, для випадку баротропної рідини, коли густина середовища змінюється по закону $\rho(z) = \rho_0 z^2$, та

за умови, що характерний період Брента-Вяйсяля значно більший характерного часу адвекційного переносу, обумовленого вихором, і можна знехтувати генерацією внутрішніх хвиль, розглянуті задачі про поведінку одиничного вільного вихора [7, 8] та про взаємодію n вільних вихорів [9]. Показано, що одиничний вихор має власну рушійну силу у поперечному до напрямку дії сили тяжіння напрямку. На відміну від випадку однорідної рідини лише задача про взаємодію двох вихорів є інтегрованою. В цих задачах рушійна сила вихора є логарифмічно сингулярною при прямуванні поперечного перетину ядра вихора до нуля, тому цей розмір повинен бути скінченим.

Загальна постановка лінійної задачі про стаціонарний рух точкового вихора у довільному стійко стратифікованому середовищі виконана у [10]. В цій роботі виведено рівняння, яке описує збурений рух середовища, викликаний рухом точкового вихора. Воно в явній формі містить характеристики вихора, що дозволяє при розв'язанні таких задач ефективно застосовувати методи інтегральних перетворень. З використанням цього підходу в роботах [11–13] розв'язані задачі про кінематику і динаміку руху точкового вихора (а в [12] вихроджерела) в нескінченному лінійно стратифікованому середовищі, біля стрибка густини та біля горизонтальної твердої стінки. Було показано, що в

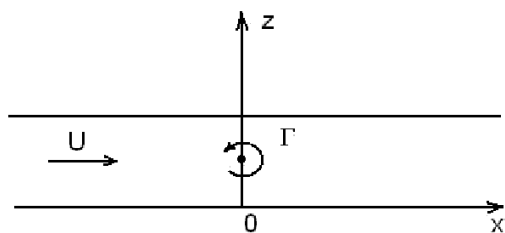


Рис. 1. Схема течії

лінійних задачах має місце аналог інтегралу Бернуллі для однорідного середовища з заміною значення густини на її локальне значення, відповідне горизонту руху вихора. Це дозволило одержати вирази для визначення складових гідродинамічної сили, що діє на вихор, у вигляді, аналогічному випадку однорідного середовища. Результати виконаних у роботах [10–13] досліджень показали, що слабка стратифікація мало змінює кінематику обтікання вихора і слабо впливає на величину підйомної сили, що діє на вихор. Однак, істотним є те, що наявність стратифікації обумовлює появу продольної сили опору, яка має тенденцію швидко зростати з посиленням градієнта густини.

В даній роботі розглянута задача про вимушений рівномірний рух горизонтально орієнтованого точкового вихора, який знаходиться в лінійно стратифікованому ідеальному середовищі між двома твердими горизонтальними границями. Скінченість товщини шару дозволяє розглянути схеми з більшими градієнтами густини і, таким чином, оцінити вплив цього фактора на характер збурень (як кінематичних, так і динамічних), внесених вихором у навколишнє середовище.

1. ПОСТАНОВКА ЗАДАЧІ

Розглядається рівномірний горизонтальний рух плоского точкового вихора інтенсивності Γ у шарі стратифікованої рідини скінченої товщини H на відстані h від нижньої границі. Схема течії зображена на рис. 1. Система координат вибрана так, що вона рухається разом з вихором, причому додатній напрямок горизонтальної вісі x направлено в сторону, протилежну напрямку вектора швидкості руху, а вісь z , початок якої знаходиться на твердій границі нижче вихора, направлена вгору. Вводиться збурена функція течії $\psi(x, z)$ така, що

$$u = \frac{\partial \psi}{\partial z}; \quad w = -\frac{\partial \psi}{\partial x}.$$

Тоді лінеаризоване рівняння, яке описує стаціонарний рух такого середовища в наближенні Бусінеска (спрощений варіант, коли в системі рівнянь Ейлера змінність незбуреної густини середовища $\rho_0(z)$ враховується лише у рівнянні для збуреної густини $\rho(x, z)$), має вигляд [10]

$$\Delta \psi + \frac{N^2}{U^2} \psi = -\Gamma \delta(x) \delta(z - h). \quad (1)$$

Тут $N(z)$ – частота Брента-Вяйсяля, Δ – оператор Лапласа,

$$N(z) = \left(-\frac{g}{\rho_0} \frac{d\rho_0}{dz} \right)^{\frac{1}{2}}, \quad \Delta = \frac{\partial^2}{\partial x^2} + \frac{\partial^2}{\partial z^2};$$

а $\delta(x)$, $\delta(z - h)$ – дельта-функції Дірака.

У безрозмірній формі, де в якості масштабу довжини береться H , а в якості масштабу для ψ і $\Gamma - UH$, рівняння (1) набуває вигляду

$$\Delta \psi + \alpha^2 \psi = -\Gamma \delta(x) \delta(z - h), \quad (2)$$

де $\alpha = NH/U$.

Граничні умови задачі впливають з умов непроникності границь

$$\frac{\partial \psi}{\partial x} = 0 \quad \text{при} \quad z = 0 \quad \text{і} \quad z = 1 \quad (3)$$

і умови випромінювання

$$\psi \rightarrow 0 \quad \text{при} \quad x \rightarrow -\infty. \quad (4)$$

2. РУХ ВИХОРА В ШАРІ ЛІНІЙНО СТРАТИФІКОВАНОЇ РІДИНИ

Для випадку лінійної стратифікації, коли незбурений профіль густини середовища задається виразом

$$\rho_0(z) = \rho_{00}(1 - \beta z), \quad \beta > 0,$$

$N(z) = \sqrt{\beta g} = \text{const}$ і, отже, $\alpha = \text{const}$. Саме така схема стратифікації і є предметом подальшого дослідження.

Розв'язок задачі (2)–(4) знаходиться у вигляді інтегрального перетворення Фур'є

$$\psi(x, z) = -\frac{\Gamma}{2\pi} \int_{-\infty}^{\infty} e^{ikx} \bar{\psi}(k, z) dk. \quad (5)$$

Застосування перетворення (5) до рівняння (2) і граничної умови (3) приводить до звичайного диференціального рівняння відносно функції-образу $\bar{\psi}(k, z)$:

$$\bar{\psi}'' + (\alpha^2 - k^2) \bar{\psi} = \delta(z - h) \quad (6)$$

з граничними умовами

$$\bar{\psi} = 0 \quad \text{при } z = 0 \quad \text{і } z = 1. \quad (7)$$

Використання методу варіації сталих дозволяє одержати розв'язок для $\bar{\psi}(k, z)$ у вигляді

$$\bar{\psi}(k, z) = C_1 e^{Mz} + C_2 e^{-Mz} + \frac{1}{2M} H(z-h) \left[e^{M(z-h)} - e^{-M(z-h)} \right], \quad (8)$$

де C_1 і C_2 – сталі інтегрування, $M = \sqrt{k^2 - \alpha^2}$, а $H(z-h)$ – одинична функція Хевісайда. Сталі інтегрування C_1 і C_2 визначаються з граничних умов (3). В результаті для $\bar{\psi}(k, z)$ має місце розв'язок:

а) в області $z > h$

$$\bar{\psi}(k, z) = \frac{1}{2M} \left[e^{M(z-h)} - e^{-M(z-h)} - \frac{A_1}{e^M - e^{-M}} \right],$$

де

$$A_1(k, z) = e^{M(z+1-h)} - e^{M(z-1+h)} - e^{-M(z-1+h)} + e^{-M(z+1-h)};$$

б) в області $0 \leq z \leq h$

$$\bar{\psi}(k, z) = \frac{A_2}{2M(e^M - e^{-M})},$$

де

$$A_2(k, z) = e^{M(z-1+h)} + e^{-M(z-1+h)} - e^{M(z+1-h)} - e^{-M(z+1-h)}.$$

Розв'язок для $\bar{\psi}(k, z)$ можна представити у єдиній для всієї області середовища формі

$$\bar{\psi} = \frac{1}{2M} \left[e^{-M(z+h)} - e^{-M|z-h|} + \frac{A}{e^M - e^{-M}} \right], \quad (9)$$

де

$$A(k, z) = e^{M(z-1+h)} + e^{-M(z+1+h)} - e^{M(z-1-h)} - e^{-M(z+1-h)}.$$

Тоді розв'язок для $\psi(x, z)$, враховуючи парність $\bar{\psi}(k, z)$ по k , представляється у вигляді

$$\psi(x, z) = \frac{\Gamma}{4\pi} \operatorname{Re} \int_0^\infty \frac{\cos(kx)}{M} \times \left[e^{-M|z-h|} - e^{-M(z+h)} - \frac{A}{e^M - e^{-M}} \right] dk. \quad (10)$$

Підінтегральна функція одержаного розв'язку має полюси в точках, де

$$e^M - e^{-M} = 0 \quad \text{та } M = 0.$$

Другий з цих полюсів $k_2 = \alpha$ одночасно є і точкою розгалуження. Полюси першого рівняння можуть бути дійсними лише в області $0 < \operatorname{Re} k \leq \alpha$. Справді, в цьому випадку це рівняння набирає вигляду

$$e^{iM_*} - e^{-iM_*} = 0,$$

де $M_* = \sqrt{\alpha^2 - k^2}$, і має розв'язки

$$k_n = \sqrt{\alpha^2 - (\pi n)^2}, \quad n = 1, 2, 3, \dots$$

Як видно, дійсними полюси k_n можуть бути лише за умови $\alpha > \pi$. Враховуючи, що для реальної стратифікації в морях і океанах $N = 10^{-2} \div 10^{-5} \text{ с}^{-1}$, для шарів рідкого середовища з приблизно лінійною стратифікацією, товщина яких складає десятки – сотні метрів, в діапазоні реальних швидкостей руху підводних об'єктів 1–30 м/с така умова не виконується. Її виконання може мати місце для особливих середовищ з сильною стратифікацією, коли частота Брента-В'яйсяля N є величиною порядку одиниці. В таких задачах необхідно використовувати повну форму наближення Бусинеска у системі рівнянь Ейлера.

Надалі розглядаються такі режими рухів, при яких підінтегральна функція у виразі (10) не має дійсних полюсів k_n . В цьому випадку розв'язок задачі знаходиться прямим інтегруванням з врахуванням наявності на дійсній вісі полюса і одночасно точки розгалуження $k = \alpha$. Неважко переконатись (розкладаючи підінтегральну функцію в ряд в околі точки розгалуження), що цей окіл не дає вкладу у відповідний інтеграл, оскільки значення підінтегральної функції в ньому прямує до нуля. Отже, для знаходження розв'язку задачі буде використовуватись безпосереднє інтегрування виділеної дійсної частини розв'язку (10).

Перші дві складові підінтегральної функції в (10) описують рух вихора біля твердої стінки у напівнескінченному лінійно стратифікованому середовищі (у вибраній системі координат – це нижня тверда границя). З відповідного розв'язку, отриманого в роботі [13], після заміни там лінійного масштабу – віддалі центра вихора від стінки на товщину шару даної задачі – має місце таке його представлення, яке вже задовольняє умові випромінювання:

$$\psi_{\text{тс}}(x, z) = -\frac{\Gamma}{2\pi} \left\{ \frac{1}{2} \ln \left[\frac{x^2 + (z-h)^2}{x^2 + (z+h)^2} \right] + \psi_\alpha + \Delta_\psi \right\},$$

де

$$\psi_\alpha = 4H(x) \int_0^\alpha \frac{1}{M_*} \sin(M_* x) \sin(kh) \sin(kz) dk,$$

$$\Delta_\psi = 2 \int_0^{k_*} \frac{e^{-k|x|}}{M} \sin(kh) \sin(kz) dk - 2 \int_\alpha^{k_*} \frac{e^{-M|x|}}{M} \sin(kh) \sin(kz) dk.$$

Тут $H(x)$ – одинична функція Хевісайда, а k_* – достатньо велике значення, при якому з заданою точністю виконується умова $M \approx k$.

Складова розв'язку (10) ψ_1 , яка відповідає дробовій функції у підінтегральному виразі, знаходиться безпосереднім інтегруванням вздовж дійсної вісі k :

$$\psi_1(x, z) = -\frac{\Gamma}{2\pi} \int_0^\infty \frac{A \cos(kx)}{M(e^M - e^{-M})} dk.$$

Для виконання умови випромінювання при $x \rightarrow \infty$ для цієї складової необхідно скоротити інтервал інтегрування на інтервал $0 \leq k \leq \alpha$. Це відповідає відомій процедурі присвоєння для вказаного інтервалу хвильових чисел у виразі ψ_1 замість x значення $-x$ і віднімання одержаного виразу від розв'язку у всій області. В результаті отримаємо

$$\psi_1(x, z) = -\frac{\Gamma}{2\pi} \int_\alpha^\infty \frac{A \cos(kx)}{M(e^M - e^{-M})} dk.$$

Отже, для збуреної функції течії одержується такий розв'язок

$$\psi(x, z) = \psi_{\text{тс}}(x, z) + \psi_1(x, z). \quad (11)$$

Складові збуреної швидкості середовища представляються у вигляді

$$u(x, z) = -\frac{\Gamma}{2\pi} (u_o + \Delta_u + u_\alpha + u_1), \quad (12)$$

$$w(x, z) = \frac{\Gamma}{2\pi} (w_o + \Delta_w + w_\alpha + w_1], \quad (13)$$

де

$$u_o = \frac{z-h}{x^2+(z-h)^2} - \frac{z+h}{x^2+(z+h)^2},$$

$$\Delta_u = 2 \int_0^{k_*} e^{-k|x|} \sin(kh) \cos(kz) dk - \int_\alpha^{k_*} \frac{k}{M} e^{-M|x|} \sin(kh) \cos(kz) dk,$$

$$u_\alpha = 4H(x) \int_0^\alpha \frac{k}{M_*} \sin(M_*x) \cos(kz) \sin(kh) dk,$$

$$u_1 = \int_\alpha^\infty \frac{B}{(e^M - e^{-M})} \cos(kx) dk,$$

$$w_o = \frac{x}{x^2+(z-h)^2} - \frac{x}{x^2+(z+h)^2},$$

$$\Delta_w = 2 \int_\alpha^{k_*} e^{-M|x|} \sin(kh) \sin(kz) dk - 2 \int_0^{k_*} e^{-k|x|} \sin(kh) \sin(kz) dk,$$

$$w_\alpha = 4H(x) \int_0^\alpha \cos(M_*x) \sin(kz) \sin(kh) dk,$$

$$w_1 = - \int_\alpha^\infty \frac{Ak}{M(e^M - e^{-M})} \sin(kx) dk,$$

$$B(k, z) = e^{M(z-1+h)} - e^{-M(z+1+h)} - e^{M(z-1-h)} + e^{-M(z+1-h)}.$$

3. ГІДРОДИНАМІЧНА СИЛА, ЩО ДІЄ НА РУХОМИЙ ВИХОР

Для визначення гідродинамічної сили реакції (горизонтальна R_x та вертикальна R_z складові) середовища на стаціонарний рух вихора до рідкого об'єму рідини, який знаходиться всередині кола s нескінченно малого радіуса, що оточує центр вихора, застосовується теорема про зміну кількості руху [14]. Тоді, як показано в роботах [11, 12], мають місце такі безрозмірні вирази для складових сили (в якості масштабів для сили взято $\rho_{00}U^2H$, а для швидкості – U):

$$R_x = - \oint_c \left[\frac{1}{2}(u^2 + w^2) \cos \theta + uw \sin \theta \right] ds - \oint_c (u \cos \theta + w \sin \theta) ds, \quad (14)$$

$$R_z = \oint_c \left[\frac{1}{2}(u^2 - w^2) \sin \theta - uw \cos \theta \right] ds + \oint_c (u \sin \theta - w \cos \theta) ds. \quad (15)$$

На колі нескінченно малого радіуса, центр якого співпадає з центром вихора ($x \rightarrow 0, z \rightarrow h$), з наведених виразів для $u(x, z)$ і $w(x, z)$ одержується

наступнє представлення

$$u(x, z) = -\frac{\Gamma}{2\pi} \left[\frac{z-h}{x^2+(z-h)^2} + \Delta_{u0} + u_{10} \right], \quad (16)$$

$$w(x, z) = \frac{\Gamma}{2\pi} \left[\frac{x}{x^2+(z-h)^2} + w_{\alpha 0} \right]. \quad (17)$$

Тут

$$\Delta_{u0} = \int_{\alpha}^{k_*} \sin(2kh) dk - \int_{\alpha}^{\sqrt{k_*^2 - \alpha^2}} \sin(2h\sqrt{k^2 - \alpha^2}) dk - \frac{1}{2h},$$

$$u_{10} = \int_{\alpha}^{\infty} \frac{e^{2Mh} - e^{-2Mh}}{e^{2M} - 1} dk,$$

$$w_{\alpha 0} = \alpha - \frac{1}{2h} \sin(2h\alpha).$$

Підстановка представлень (16), (17) у вирази (14), (15) дає наступні співвідношення для складових гідродинамічної сили:

$$R_x = \frac{\Gamma^2}{2\pi} \left[\alpha - \frac{1}{2h} \sin(2h\alpha) \right], \quad (18)$$

$$R_z = -\Gamma + \frac{\Gamma^2}{2\pi} (\Delta_{u0} + u_{10}). \quad (19)$$

4. РЕЗУЛЬТАТИ ЧИСЕЛЬНИХ РОЗРАХУНКІВ

За результатами проведених теоретичних досліджень виконані чисельні експерименти з побудови картини обтікання вихора та обчислення гідродинамічної сили, що на нього діє. Картина обтікання представляється побудовою заданих значень сумарної безрозмірної лінії течії $\Psi(x, z) = z + \psi(x, z)$ в діапазоні $-5 \leq x \leq 20$. При цьому сама функція $\Psi(x, z)$ змінюється від нуля на нижній границі до одиниці на верхній. Розрахунки виконані для чотирьох значень інтенсивності вихора (Γ : 1; -0.2; -1; -4), чотирьох горизонтів руху (h : 0.1; 0.2; 0.4; 0.5) і двох значень параметра α : 0.1; 1.0. Використаний тут діапазон зміни величини α для швидкості руху вихора порядку метрів – десятків метрів та товщини шару середовища порядку сотень метрів відповідає діапазону зміни $N = 0.01 \div 0.1 \text{ c}^{-1}$. Таке розширення діапазону зміни параметра α можливе в рамках використаної тут схеми наближення Бусинеска, зважаючи на скінченість товщини шару середовища. Воно

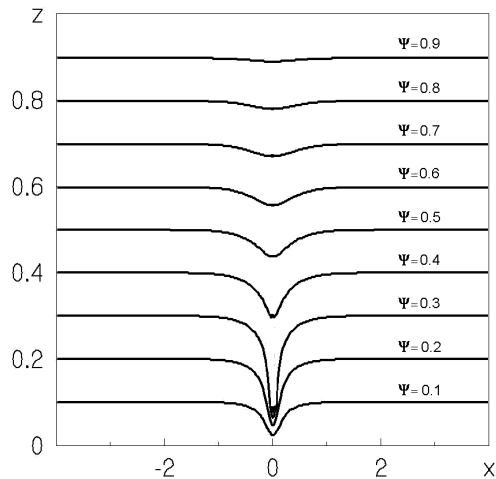


Рис. 2. Картина течії при $\Gamma = 1, h = 0.1, \alpha = 0.1$

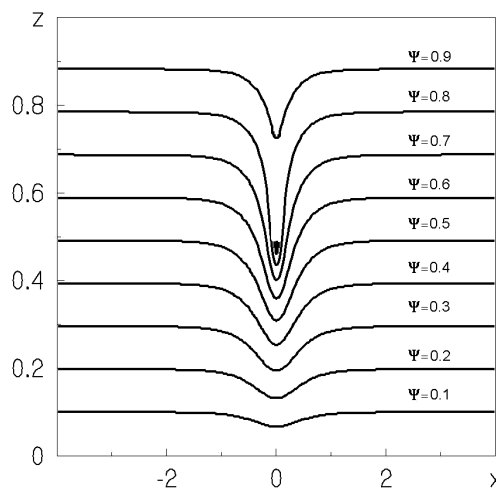


Рис. 3. Картина течії при $\Gamma = 1, h = 0.5, \alpha = 0.1$

дозволяє, зате, виявити ті значення параметра α , з яких починається помітний вплив стратифікації на кінематику обтікання вихора, а потім і на динаміку його взаємодії з потоком. На рис. 2 наведена картина течії для $\Gamma = 1, h = 0.1, \alpha = 0.1$ на ділянці $-4 \leq x \leq 4$. Як видно, для заданих параметрів картина течії має практично симетричний відносно центра вихора вигляд, що свідчить про вкрай слабкий вплив стратифікації для заданого α . Зміна горизонту руху вихора при незмінності інших параметрів змінює геометрію картини його обтікання, не змінюючи її симетричність. Це видно з рис. 3, де порівняно з рис. 2 величина h має значення $h = 0.5$. Про зміну обтікання вихора з посиленням стратифікації середовища можна судити по

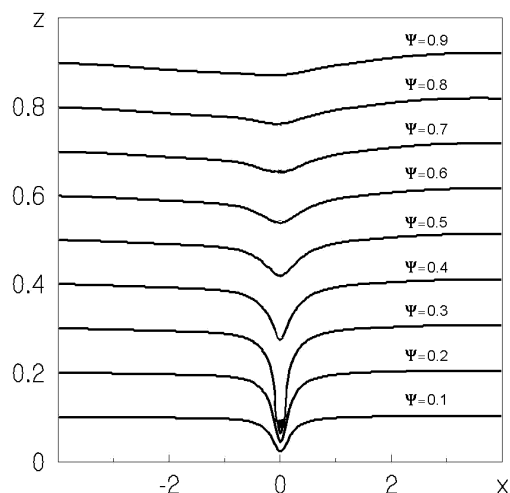
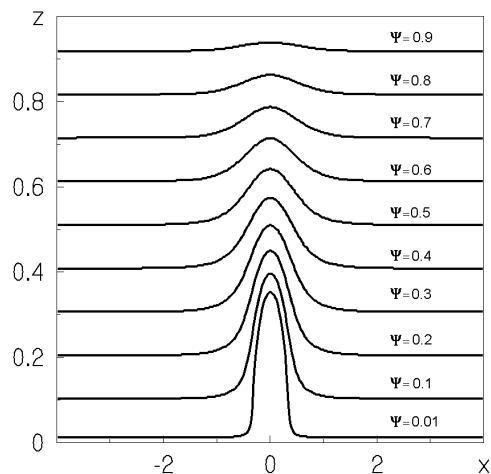
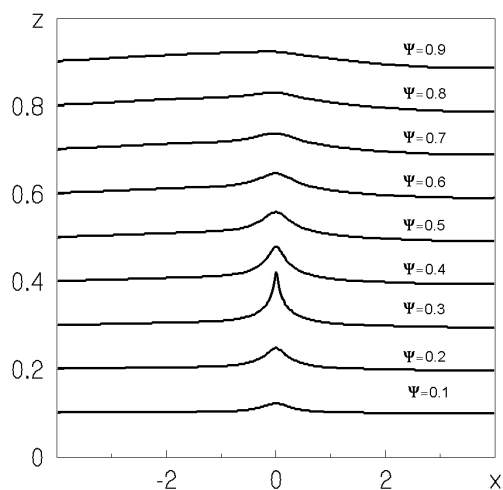
Рис. 4. Картина течії при $\Gamma = 1, h = 0.1, \alpha = 1$ Рис. 6. Картина течії при $\Gamma = -4, h = 0.1, \alpha = 0.1$ Рис. 5. Картина течії при $\Gamma = -0.2, h = 0.4, \alpha = 1$

рис. 4, де представлена картина обтікання вихора для $\Gamma = 1, h = 0.1$ і $\alpha = 1$. Як видно, в даному випадку вже помітний вплив стратифікації на характер картини обтікання. В ближній області має місце асиметрія розподілу ліній течії, яка особливо проявляється у верхній частині потоку. Очевидно, що зі зростанням α відмічена особливість буде посилюватись. На рис. 5–7 побудовані картини течії для вихорів з $\Gamma < 0$. На першому з них режим течії відповідає умові $|\Gamma|/\pi U - h < 0$, а на рис. 6 і 7 – умові $|\Gamma|/\pi U - h > 0$. Як видно, для розглянутих режимів процес формування атмосфери вихорів аналогічний випадку однорідного середовища, коли формуються власна атмосфера рухомого ви-

хора (рис. 5), або половина атмосфери, відповідної руху вихорової пари в необмеженому середовищі (рис. 6 і 7) [13, 15]. В останньому випадку площа атмосфери вихору значно більша, ніж ізольована атмосфера, а вплив стратифікації такий самий, як і при $\Gamma > 0$, з заміною в ближній за вихором області підйому ліній течії на їх опускання. Оскільки при $\alpha = 1$ на рис. 6 має місце помітна асиметрія течії в околі вихора, представляє інтерес простежити за еволюцією цієї течії в дальній області за вихором. Для цього була побудована відповідна картина течії на ділянці $5 \leq x \leq 20$. З представленої на рис. 8 картини обтікання видно, що хоч збурення, викликані стратифікацією, в області за вихором достатньо великі і можуть складати величину порядку відсотків товщини шару, вони затухають зі збільшенням відстані від нього, що і має бути у відповідності з умовою $\alpha < \pi$, для якої і одержано розв'язок задачі. Розрахунки складових гідродинамічної сили представлені на рис. 9 і 10 у вигляді R_x/Γ^2 для горизонтальної складової (хвильовий гідродинамічний опір) і додатку до вертикальної складової (під'йомної сили), обумовленого наявністю стінок і стратифікації. Одержаний характер зміни складових гідродинамічної сили свідчить, що наявність істотної стратифікації помітно впливає на величину горизонтальної складової сили і слабо впливає на величину під'йомної сили, хоча цей вплив має місце і він більший біля верхньої границі. На величину R_z , як і у однорідній рідині, головним чином впливає наявність горизонтальних границь. Цікаво, що величина R_x в інтервалі зміни $0 < \alpha < 0.4$ практично не зале-

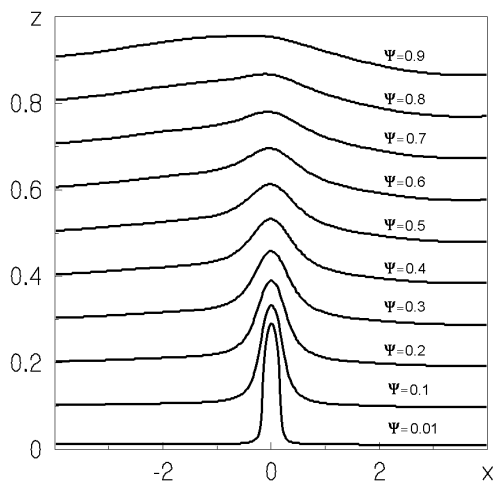


Рис. 7. Картина течії при $\Gamma = -1, h = 0.2, \alpha = 1$

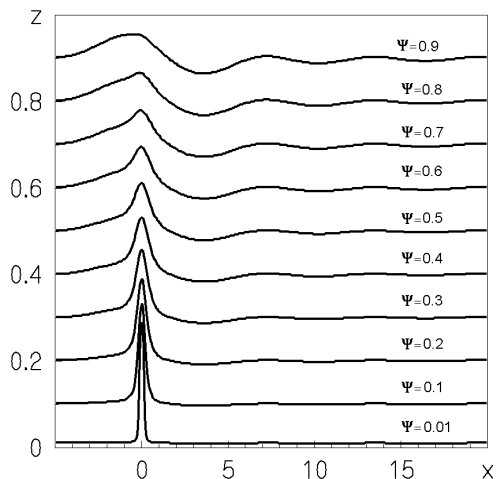


Рис. 8. Картина течії при $\Gamma = -1, h = 0.2, \alpha = 1$

жить від h . Помітна зміна характеру цієї залежності від h спостерігається при $\alpha > 0.5$, де, можливо, вже починає відчуватись неточність спрощеної схеми Бусинеска. Максимальних значень по модулю величина ΔR_z набирає при наближенні до будь якої із горизонтальних границь, при цьому для різних границь вона має різні знаки. З представлених графіків видно, що для випадку однорідного середовища ($\alpha = 0$) $R_x = 0$, а на горизонті $h = 0.5$ при цьому і $\Delta R_z = 0$, що повністю відповідає відомим класичним результатам.

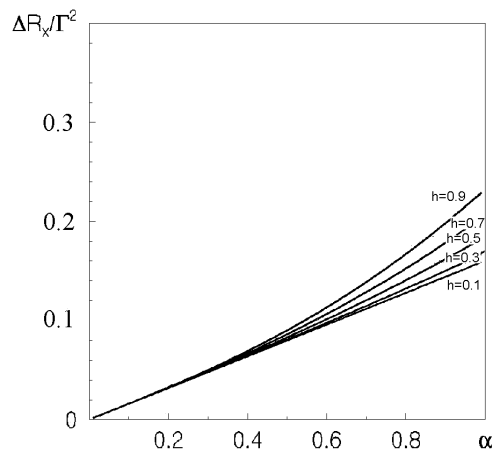


Рис. 9. Залежність R_x / Γ^2 від α

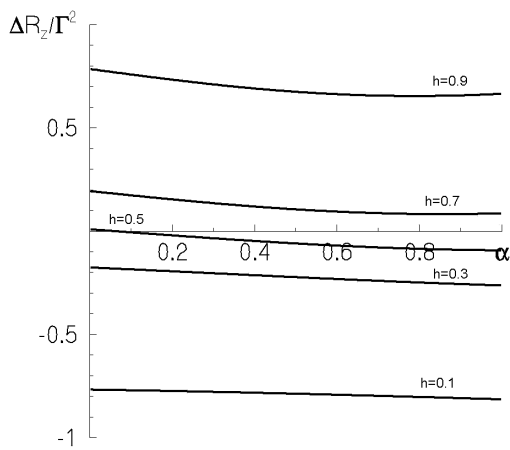


Рис. 10. Залежність ΔR_z від α

ЗАКЛЮЧЕННЯ

Виконані дослідження дозволили дослідити вплив посилення стратифікації на кінематику і динаміку обтікання двовимірного точкового вихора потоком такого середовища. Скінченість товщини стратифікованого шару дозволила навіть у рамках спрощеної схеми наближення Бусинеска розширити діапазон зміни частот Брента-Вайсяля N задачі. В проведених розрахунках цей діапазон становив $0.1 \div 1$. Розрахунки картин течій в околі і за вихором показали, що посилення стратифікації може істотно впливати на кінематику течії та на горизонтальну складову гідродинамічної сили (силу опору). В околі вихора має місце істотна асиметрія ліній течії; зі зростанням віддалі за вихором відповідні збурення затухають, однак, картина те-

чії в цілому помітно змінюється. Сила опору з посиленням стратифікації швидко зростає.

При наявності двох горизонтальних границь положення горизонту істотно впливає на величину підйомної сили, що діє на вихор, в той час як стратифікація слабо впливає на цю величину. Характер формування атмосфери вихора визначається знаком і величиною його інтенсивності та віддаллю від ближньої із границь. Для вихорів з $\Gamma > 0$ завжди має місце наявність ізольованої атмосфери. У випадку вихорів з $\Gamma < 0$ можливі ситуації як наявності навколо вихора ізольованої атмосфери, так і наявності половини однієї спільної атмосфери, яка існує при русі вихрової пари, утвореної розглянутим вихором та симетричним до нього відносно нижньої границі з інтенсивністю протилежного знаку. Реалізація цих ситуацій з високою точністю визначається знаком величини $|\Gamma|\pi U - h$. Якщо $|\Gamma|\pi U - h < 0$, то, як і при $\Gamma > 0$, вихор має свою ізольовану атмосферу. Якщо ж режим руху такий, що виконується умова $|\Gamma|\pi U - h > 0$, то реалізується ситуація з утворенням значно більшої за площею половини атмосфери відповідної вихрової пари з наявністю двох критичних точок.

Виявлені особливості впливу стратифікації на кінематику та динаміку обтікання вихорів обумовлюють необхідність розв'язання задачі у загальній постановці наближення Бусинеска у системі рівнянь Ейлера.

1. Степаняц Ю.А., Стурова И.В., Теодорович А.В. Линейная теория поверхностных и внутренних волн // Итоги науки и техники, МЖК, М.: ВИНТИ. – 1987. – 21. – С. 92-179.
2. Кочин Н.Е. О волновом сопротивлении и подъемной силе погруженного в жидкость тела. – Собр. соч. М.: Л.: Из-во АН СССР: 1949, т. 2. – 105-182 с.
3. Кочин Н.Е. О влиянии рельефа земли на волны на поверхности раздела двух жидкостей разной плотности (статья вторая). – Собр. соч. М.: Из-во АН СССР: 1949, т. 1. – 467-477 с.
4. Басин М.А., Шадрин И.П. Гидродинамика крыльев вблизи границы раздела сред. – Л.: Судостроение, 1980. – 304 с.
5. Горлов С.И. Решение линейных задач о равномерном движении вихреисточника в многослойной жидкости // Изв.АН СССР, МЖГ. – 1995. – №31. – С. 127-132.
6. Janowitz G.S. Line singularities in inbounded stratified fluid // J.Fluid Mech. – 1974. – 66, 3. – P. 455-464.
7. Arendt S.C. Vorticity in stratified fluid I: general formulation // Geophys. Astrophys. Fluid Dyn. – 1993. – 68. – P. 59-83.
8. Arendt S.C. Vorticity in stratified fluid II: finite crosssection filaments and rings // Geophys. Astrophys. Fluid Dyn. – 1993. – 70. – P. 161-193.
9. Arendt S.C. Two-dimensional vortex dynamics in a stratified barotropic fluid // J. Fluid Mech. – 1996. – 314. – P. 139-161.
10. Стеценко О.Г. Лінійна задача про стаціонарний рух вихора у стратифікованому середовищі // ПГМ. – 2004. – 6(78), №1. – С. 62-68.
11. Стеценко О.Г. Гідродинамічна сила, що діє на плоский точковий вихор при його стаціонарному русі у стратифікованому середовищі // ДНАН України. – 2005. – №12. – С. 56-62.
12. Стеценко О.Г. Динаміка стаціонарного руху вихроджерела у стратифікованому середовищі // ПГМ. – 2006. – 8(80), №4. – С. 66-77.
13. Стеценко О.Г. Стаціонарний рух вихора біля твердої стінки у стратифікованому середовищі // ПГМ. – 2008. – 10(82), №4. – С. 58-64.
14. Повх И.Л. Техническая гидромеханика. – Л.: Машиностроение, 1969. – 524 с.
15. Беляев С.Т., Краснов Ю.К. О собственной массе сингулярной вихревой пары // ДАН СССР. – 1989. – №3. – С. 566-570.